

УДК 531.38, 531.36

©2003. Б.И. Коносевич

## ИССЛЕДОВАНИЕ ОСНОВНОГО УСЛОВИЯ УСТОЙЧИВОСТИ СТАЦИОНАРНЫХ ДВИЖЕНИЙ ГИРОСКОПА В КАРДАНОВОМ ПОДВЕСЕ, СНАБЖЕННОГО ЭЛЕКТРОДВИГАТЕЛЕМ

Изучается гироскоп в кардановом подвесе, установленный на неподвижном основании в поле силы тяжести, имеющий вертикальную наружную ось подвеса и снабженный электродвигателем. Для случая асинхронного электродвигателя на множестве стационарных движений гироскопа выделены устойчивые стационарные движения, а именно те, для которых выполняется достаточное условие устойчивости, следующее из анализа линеаризованных уравнений движения. Это условие появляется также при исследовании гироскопа в кардановом подвесе с синхронным электродвигателем как одно из двух условий устойчивости его стационарных движений.

**Введение.** Рассматривается тяжелый гироскоп в кардановом подвесе, установленный на неподвижном основании. Положение системы в каждый момент времени  $t$  определяют углы  $\alpha, \beta, \varphi$ , где  $\alpha$  – угол поворота наружной рамки подвеса относительно основания,  $\beta$  – угол поворота внутренней рамки относительно наружной,  $\varphi$  – угол поворота ротора относительно внутренней рамки. Трение на осях подвеса не учитывается. Предполагается, что либо наружная ось подвеса вертикальна, либо гироскоп является уравновешенным. Тогда уравнения движения гироскопа в кардановом подвесе допускают семейство решений

$$\dot{\alpha} = \Omega, \quad \beta = \beta_0, \quad \varphi = \omega t + \gamma_0, \quad (1)$$

соответствующих разным значениям  $\beta_0$ . Здесь постоянная  $\Omega$  связана с  $\beta_0$  и  $\omega$ , причем  $\Omega \neq 0$  для прецессии и  $\Omega = 0$  для равномерного вращения.

В идеальном случае, когда трение на оси ротора также отсутствует, устойчивость движения (1) изучалась К. Магнусом [1], В.В. Румянцевым [2] и другими (см. [3]).

На практике быстровращающийся ротор гироскопа испытывает значительное тормозящее воздействие диссипативных сил. Поэтому внутренняя карданова "рамка" и ротор обычно образуют вместе электродвигатель, который поддерживает вращение ротора. В случае *асинхронного* электродвигателя алгебраическая сумма момента диссипативных сил относительно оси ротора и вращающего момента двигателя в линейном приближении принимается равной  $L = -\lambda(\dot{\varphi} - \omega)$ , а в случае *синхронного* двигателя  $L = -\lambda_1(\varphi - \omega t - \gamma_0) - \lambda_2(\dot{\varphi} - \omega)$ , где  $\lambda, \lambda_1, \lambda_2 > 0$ ,  $\omega \neq 0$  и  $\gamma_0$  – постоянные (см. [4]).

Для гироскопа в кардановом подвесе с асинхронным электродвигателем устойчивость равномерных вращений по первому приближению изучалась в [5], а в [6] с помощью метода функций Ляпунова получено достаточное условие устойчивости равномерных вращений.

Чтобы учесть влияние разного рода погрешностей изготовления и сборки, в [7, 8] рассматривалась обобщенная механическая модель гироскопа в кардановом подвесе, когда динамически симметричный ротор заключен в карданов подвес, образованный двумя телами произвольной формы. В [8] на основе метода функций Ляпунова показано, что для асинхронных гироскопов большинства конструкций (в том числе и для гироскопа обычной конструкции) необходимое и достаточное условие устойчивости дви-

жения (1) состоит в том, что приведенная потенциальная энергия системы имеет в соответствующей стационарной точке минимум по  $\beta$ . Следовательно, наиболее простым и общим достаточным условием устойчивости движения (1) является положительность в стационарной точке второй производной по  $\beta$  от приведенной потенциальной энергии. Именно это условие появляется при исследовании устойчивости движения (1) на основе линеаризованных уравнений движения, а равенство нулю первой производной служит условием существования такого движения.

В [9] в рамках обобщенной механической модели изучается гироскоп в кардановом подвесе, снабженный синхронным электродвигателем. На основании исследования уравнений первого приближения установлено, что для устойчивости движения вида (1) достаточно выполнения отмеченного выше условия положительности второй производной по  $\beta$  от приведенной потенциальной энергии (основного условия устойчивости) и еще одного (дополнительного) условия.

Настоящая статья посвящена анализу основного условия устойчивости стационарных движений для обычной модели гироскопа в кардановом подвесе.

Приведенная потенциальная энергия для гироскопа с двигателем и идеального гироскопа выражаются разными формулами, так как в первом случае имеется одна циклическая координата (угол  $\alpha$ ), а во втором – две (углы  $\alpha, \varphi$ ). Поэтому условие положительности второй производной по  $\beta$  от приведенной потенциальной энергии, рассматриваемое ниже, отличается от аналогичного условия в [3].

**1. Исходные соотношения.** Пусть  $C$  – осевой момент инерции динамически симметричного ротора. Если пользоваться обобщенной механической моделью гироскопа в кардановом подвесе [7], то при вертикальной наружной оси подвеса величины  $G, N, Q$  в выражении

$$T = \frac{1}{2}(G\dot{\alpha}^2 + H\dot{\beta}^2 + C\dot{\varphi}^2 + 2N\dot{\alpha}\dot{\beta} + 2Q\dot{\alpha}\dot{\varphi} + 2R\dot{\beta}\dot{\varphi})$$

кинетической энергии системы и ее потенциальная энергия  $U$  являются функциями угла  $\beta$  и механических параметров системы, а  $H, R$  зависят только от механических параметров. Соответствующие выражения следуют из формул (6)-(15) статьи [7]. Случай, когда система статически уравновешена относительно осей подвеса, формально включается в случай вертикальной наружной оси подвеса при  $U(\beta) \equiv \text{const}$ . С помощью введенных обозначений условие существования движения (1) выражается равенством

$$-\Omega\left[\frac{\Omega}{2}G'(\beta_0) + \omega Q'(\beta_0)\right] + U'(\beta_0) = 0, \quad (2)$$

а основное условие устойчивости этого движения выражается неравенством (см. [8, 9])

$$\begin{aligned} \Omega^2\left[G''(\beta_0) - \frac{1}{2}G(\beta_0)G''(\beta_0)\right] + \omega\Omega\left[2G'(\beta_0)Q'(\beta_0) - G(\beta_0)Q''(\beta_0)\right] + \\ + \omega^2Q'^2(\beta_0) + G(\beta_0)U''(\beta_0) > 0. \end{aligned} \quad (3)$$

Здесь и далее штрих означает дифференцирование по  $\beta$ .

Проанализируем соотношения (2), (3) для *обычной модели* гироскопа в кардановом подвесе. Выражения  $G, H, N, Q, R, U$  для этой модели можно получить из формул (6)-(15) статьи [7] или же воспользоваться готовыми формулами (см., например, [3, с. 83]). В результате будем иметь

$$\begin{aligned} G(\beta) &= C_2 + B_1 + C + (C_1 + A - B_1 - C) \cos^2 \beta, & H &= A_1 + A, \\ N(\beta) &= 0, & Q(\beta) &= C \sin \beta, & R &= 0, & U(\beta) &= mgs \sin \beta. \end{aligned} \quad (4)$$

Здесь  $C, A$  – осевой и экваториальный моменты инерции ротора относительно центра подвеса,  $A_1, B_1, C_1$  – моменты инерции внутренней рамки относительно внутренней оси подвеса, нормали к плоскости внутренней рамки в ее центре и относительно оси ротора,  $C_2$  – момент инерции наружной рамки относительно наружной оси подвеса. Далее,  $m$  – масса ротора,  $g$  – ускорение свободного падения,  $s \geq 0$  – смещение центра масс ротора из центра подвеса вдоль оси ротора. Угол  $\beta$  отсчитывается таким образом, что  $\beta = 0$  в положении, когда ось ротора ортогональна наружной оси подвеса.

Подставим выражения (4) в соотношения (2), (3). Полагая для краткости  $I_0 = C_2 + B_1 + C$ ,  $I = C_1 + A - B_1 - C$  и рассматривая далее нетривиальный случай, когда  $I \neq 0$ , введем следующие безразмерные величины

$$y = 2\Omega I / \omega C, \quad \varepsilon = 4mgsI / \omega^2 C^2, \quad \lambda = I_0/I. \quad (5)$$

Тогда условие (2) существования стационарных движений (1) принимает вид

$$\cos \beta_0 (y^2 \sin \beta_0 - 2y + \varepsilon) = 0, \quad (6)$$

а основное условие устойчивости таких движений (3) преобразуется к неравенству

$$y^2[-2 \cos^4 \beta_0 + (3 + 2\lambda) \cos^2 \beta_0 - \lambda] + 2y(\lambda - 3 \cos^2 \beta_0) + 4 \cos^2 \beta_0 - \varepsilon(\lambda + \cos^2 \beta_0) \sin \beta > 0. \quad (7)$$

Величина  $y$  характеризует угловую скорость прецессии  $\Omega$ , параметры  $\varepsilon$  и  $\lambda$  характеризуют смещение центра масс ротора  $s$  и распределение масс в системе. Из (5) следует, что при  $s > 0$  знак  $\varepsilon$  равен знаку  $I$ . А так как  $I_0 > 0$ , то при  $\varepsilon > 0$  будет  $\lambda > 0$ . Представив  $\lambda$  в виде  $\lambda = -1 + (C_2 + C_1 + A)/I$ , заключаем, что при  $\varepsilon < 0$  будет  $\lambda < -1$ . В случае  $\varepsilon = 0$ , то есть при  $s = 0$ , величина  $I$  может иметь любой знак, и поэтому для  $\lambda$  в этом случае допустимы как значения  $\lambda > 0$ , так и значения  $\lambda < -1$ . Итак, область допустимых значений параметров  $\varepsilon, \lambda$  определена неравенствами

$$\lambda > 0 \quad (\varepsilon \geq 0), \quad \lambda < -1 \quad (\varepsilon \leq 0). \quad (8)$$

**2. Множество стационарных движений.** При фиксированном  $\varepsilon$  условие (6) определяет множество стационарных движений гирокопа в кардановом подвесе. На плоскости  $\beta_0, y$  оно изображается вертикальными прямыми  $\beta_0 = \pm\pi/2 \pmod{2\pi}$  и двумя кривыми

$$y_1(\beta_0, \varepsilon) = \frac{1 + \sqrt{1 - \varepsilon \sin \beta_0}}{\sin \beta_0}, \quad y_2(\beta_0, \varepsilon) = \frac{1 - \sqrt{1 - \varepsilon \sin \beta_0}}{\sin \beta_0}. \quad (9)$$

Так как функции  $y_j(\beta_0, \varepsilon)$ ,  $j = 1, 2$ , зависят от  $\beta_0$  только через  $\sin \beta_0$ , то их графики, как и график синуса, зеркально симметричны относительно прямых  $\beta_0 = \pm\pi/2 \pmod{2\pi}$ . Множество стационарных движений и основное условие устойчивости (7) имеют  $2\pi$ -периодическую структуру относительно  $\beta_0$ . Поэтому их достаточно исследовать для значений  $\beta_0$ , принадлежащих какому-либо отрезку длины  $2\pi$ . В качестве такого отрезка при  $\varepsilon > 0$  выберем  $[-3\pi/2; \pi/2]$ , а при  $\varepsilon \leq 0$  возьмем  $[-\pi/2; 3\pi/2]$ . Часть этого отрезка, где  $1 - \varepsilon \sin \beta_0 \geq 0$ , обозначим через  $[a(\varepsilon); b(\varepsilon)]$ .

Пользуясь стандартными методами математического анализа, нетрудно построить графики зависимостей функций  $y_j(\beta_0, \varepsilon)$ ,  $j = 1, 2$ , от  $\beta_0$  при разных  $\varepsilon$ . При этом для

определения производных указанных функций по  $\beta_0$  их удобно представить следующим образом:  $y_j(\beta_0, \varepsilon) = \varepsilon / (1 \mp \sqrt{1 - \varepsilon \sin \beta_0})$ , верхний знак соответствует  $j = 1$ , а нижний –  $j = 2$ . В результате устанавливаем, что при  $\varepsilon \geq 0$  множество стационарных движений имеет на плоскости  $\beta_0, y$  вид, изображенный на рис. 1.

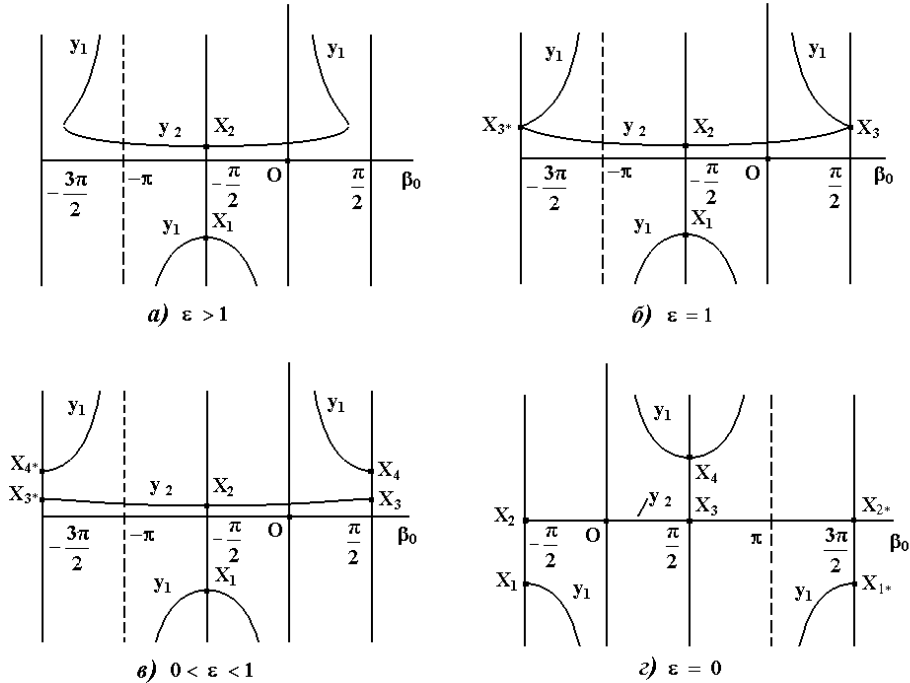


Рис. 1. Множество стационарных движений при  $\varepsilon \geq 0$ .

Из (9) следует, что анализ зависимостей  $y_j(\beta_0, \varepsilon)$ ,  $j = 1, 2$ , от  $\beta_0$  при  $\varepsilon < 0$  приводится к случаю  $\varepsilon > 0$  с помощью замены  $y_j = -\bar{y}_j$  ( $j = 1, 2$ ),  $\beta_0 = -\bar{\beta}_0$ ,  $\varepsilon = -\bar{\varepsilon}$ , где  $\bar{y}_j$ ,  $\bar{\beta}_0$  соответствуют случаю  $\bar{\varepsilon} > 0$ . Таким образом, при  $\varepsilon < 0$  портрет множества стационарных движений на плоскости  $\beta_0, y$  получается из портreta аналогичного множества с таким же по модулю положительным  $\varepsilon$  при помощи двух зеркальных отражений относительно осей координат (или одним центральным отражением относительно начала координат). На плоскости  $\beta_0, y$  точки

$$\begin{aligned} X_1 &= (-\pi/2, -1 - \sqrt{1 + \varepsilon}), & X_2 &= (-\pi/2, -1 + \sqrt{1 + \varepsilon}) & (\varepsilon \geq -1); \\ X_3 &= (\pi/2, 1 - \sqrt{1 - \varepsilon}), & X_4 &= (\pi/2, 1 + \sqrt{1 - \varepsilon}) & (\varepsilon \leq 1), \end{aligned} \quad (10)$$

где пересекаются прямые  $\beta_0 = \pm\pi/2$  и кривые  $y_j(\beta_0, \varepsilon)$ ,  $j = 1, 2$ , соответствуют точкам бифуркации в фазовом пространстве уравнений движения гироскопа. На рис. 1 значком \* отмечены  $2\pi$ -аналоги этих точек.

**3. Основное условие устойчивости на прямых  $\beta_0 = \pm\pi/2$ .** Обозначим через  $S(y, \beta_0, \varepsilon, \lambda)$  левую часть основного условия устойчивости (7). На вертикальных прямых  $\beta_0 = \pm\pi/2$  эта функция принимает вид  $S_{\pm}(y, \varepsilon, \lambda) = -\lambda(y^2 \mp 2y \pm \varepsilon)$ . Здесь выражение в скобках обращается в нуль при значениях  $y$ , равных ординатам точек бифуркации  $X_k$ ,  $k = \overline{1, 4}$ , существующих при данном  $\varepsilon$ . Учитывая это, приходим к следующим заключениям. В случае  $\varepsilon \geq 0$  (когда  $\lambda > 0$ ) условие (7) выполняется на открытых

вертикальных интервалах, лежащих между существующими точками  $X_k$ . В случае  $\varepsilon \leq 0$  (когда  $\lambda < -1$ ) условие (7) выполняется на лучах, лежащих на прямых  $\beta_0 = \pm\pi/2$  вне замкнутых отрезков с концами в точках  $X_k$ .

**4. Основное условие устойчивости на кривых  $y = y_{1,2}(\beta_0, \varepsilon)$  при  $\varepsilon \geq 0$ .** Прежде чем изучать условие (7) на кривых  $y = y_j(\beta_0, \varepsilon)$ ,  $j = 1, 2$ , исключим линейный по  $y$  член в левой части неравенства (7), пользуясь уравнением  $y^2 \sin \beta_0 - 2y + \varepsilon = 0$ , которое определяет указанные кривые. Тогда левая часть (7) записывается на этих кривых в виде

$$S_j(\beta_0, \varepsilon, \lambda) = \cos^2 \beta_0 [(\lambda + \cos^2 \beta_0)y_j^2(\beta_0, \varepsilon) + 4(1 - \varepsilon \sin \beta_0)], \quad j = 1, 2. \quad (11)$$

Рассмотрим случай  $\varepsilon > 0$ . Так как  $\lambda > 0$  при  $\varepsilon > 0$  согласно (8), то  $\lambda + \cos^2 \beta_0 > 0$  для всех  $\beta_0$ . Далее,  $1 - \varepsilon \sin \beta_0 \geq 0$  для всех значений  $\beta_0$  из отрезка  $[a(\varepsilon); b(\varepsilon)]$ , на котором определены кривые (9). Кроме того,  $y_j(\beta_0, \varepsilon) \neq 0$  на этом отрезке (см. рис. 1). Таким образом, выражение, заключенное в (11) в квадратные скобки, строго положительно на отрезке  $[a(\varepsilon); b(\varepsilon)]$ , и следовательно,  $S_j(\beta_0, \varepsilon, \lambda) > 0$  для всех  $\beta_0$  из этого отрезка, исключая значения, где  $\cos \beta_0 = 0$ . Это означает, что в случае  $\varepsilon > 0$  основное условие устойчивости (7) выполнено во всех точках кривых  $y = y_j(\beta_0, \varepsilon)$ ,  $j = 1, 2$ , за исключением бифуркационных точек  $X_k$ ,  $k = \overline{1, 4}$ .

Положив  $\varepsilon = 0$  в (11), сразу видим, что полученный выше результат остается верным и в случае, когда  $\varepsilon = 0$  и  $\lambda > 0$ .

Рассмотрим случай, когда  $\varepsilon = 0$  и  $\lambda < -1$ . Согласно (11), на "кривой"  $y = y_2(\beta_0, 0) \equiv 0$  имеем  $S_2(\beta_0, \lambda, 0) = 4 \cos^2 \beta_0$ . Следовательно, условие (7) снова выполнено во всех ее точках за исключением бифуркационных точек. На кривой  $y = y_1(\beta_0, 0) = 2 / \sin \beta_0$  выражение (11) принимает вид  $S_1(\beta_0, \lambda, 0) = 4(\lambda + 1) \cos^2 \beta_0 / \sin^2 \beta_0$ . Отсюда следует, что при  $\lambda < -1$  будет  $S_1(\beta_0, \lambda, 0) \leq 0$ . Таким образом, при  $\varepsilon = 0$ ,  $\lambda < -1$  условие (7) на кривой  $y = y_1(\beta_0, 0)$  не выполняется.

**5. Основное условие устойчивости на кривых  $y = y_{1,2}(\beta_0, \varepsilon)$  при  $\varepsilon < 0$ .** В результате подстановки выражений (9) в (11) левая часть (7) записывается на кривых  $y = y_j(\beta_0, \varepsilon)$ ,  $j = 1, 2$ , в виде

$$S_j(\beta_0, \varepsilon, \lambda) = \frac{\cos^2 \beta_0}{[1 \mp \xi(\beta_0, \varepsilon)]^2} [f_j(\xi(\beta_0, \varepsilon)) + (1 + \lambda)\varepsilon^2], \quad j = 1, 2, \quad (12)$$

где

$$\xi(\beta_0, \varepsilon) = \sqrt{1 - \varepsilon \sin \beta_0}, \quad f_j(\xi) = (\xi \mp 1)^3(3\xi \pm 1), \quad (13)$$

верхний знак соответствует  $j = 1$ , а нижний —  $j = 2$ . Тогда при фиксированных  $\varepsilon, \lambda$  границы интервалов для  $\beta_0$ , на которых положительно выражение в квадратных скобках в (12), определяются уравнениями

$$f_j(\xi(\beta_0, \varepsilon)) = -(1 + \lambda)\varepsilon^2, \quad j = 1, 2. \quad (14)$$

В соответствии с (8) их правые части являются положительными постоянными в рассматриваемом случае  $\varepsilon < 0$ . Чтобы установить число и расположение решений этих уравнений, достаточно проанализировать зависимости их левых частей от  $\beta_0$ .

Предварительно рассмотрим при  $\varepsilon < 0$  на отрезке  $[a(\varepsilon); b(\varepsilon)] \subseteq [-\pi/2; 3\pi/2]$  определенную в (13) функцию  $\xi(\beta_0, \varepsilon)$ . Границами данного отрезка являются

$$a(\varepsilon) = \begin{cases} -\pi/2, & \varepsilon \in [-1; 0), \\ \arcsin 1/\varepsilon, & \varepsilon \leq -1, \end{cases} \quad b(\varepsilon) = \pi - a(\varepsilon),$$

причем  $a(\varepsilon) \in [-\pi/2; 0]$ ,  $b(\varepsilon) \in (\pi/2; \pi]$ . При фиксированном  $\varepsilon < 0$  функция  $\xi(\beta_0, \varepsilon)$  монотонно возрастает на отрезке  $[a(\varepsilon); \pi/2]$  от  $\xi_{\min}(\varepsilon)$  до  $\xi_{\max}(\varepsilon)$ , а на отрезке  $[\pi/2; b(\varepsilon)]$  она монотонно убывает от  $\xi_{\max}(\varepsilon)$  до  $\xi_{\min}(\varepsilon)$ . Ее экстремальные значения равны

$$\xi_{\max}(\varepsilon) = \xi(\pi/2, \varepsilon) = \sqrt{1 - \varepsilon}, \quad \varepsilon < 0; \quad \xi_{\min}(\varepsilon) = \xi(a(\varepsilon), \varepsilon) = \begin{cases} \sqrt{1 + \varepsilon}, & \varepsilon \in [-1; 0); \\ 0, & \varepsilon \leq -1. \end{cases}$$

В точках  $\beta_0 = 0, \pi$ , принадлежащих, соответственно, интервалу монотонного возрастания и интервалу монотонного убывания, имеем  $\xi(\beta_0, \varepsilon) = 1$ .

**5.1. Условие (7) на кривой  $y = y_1(\beta_0, \varepsilon)$  при  $\varepsilon < 0$ .** Поскольку  $f_1(\xi) = (\xi - 1)^3(3\xi + 1)$ , то  $f_1(\xi(\beta_0, \varepsilon)) > 0$  для значений  $\beta_0$ , где  $\xi(\beta_0, \varepsilon) > 1$ , то есть для  $\beta_0 \in (0; \pi)$ . Производная  $f_1(\xi(\beta_0, \varepsilon))$  по  $\beta_0$  равна  $f'_1(\xi(\beta_0, \varepsilon)) = -6\varepsilon \cos \beta_0 [\xi(\beta_0, \varepsilon) - 1]^2$ . Таким образом, при  $\varepsilon < 0$  функция  $f_1(\xi(\beta_0, \varepsilon))$  монотонно возрастает на  $[a(\varepsilon); \pi/2]$  и монотонно убывает на  $[\pi/2; b(\varepsilon)]$ . При  $\beta_0 = \pi/2$  она имеет положительный максимум

$$f_{1\max}(\varepsilon) = f_1(\xi_{\max}(\varepsilon)) = (\sqrt{1 - \varepsilon} - 1)^3(3\sqrt{1 - \varepsilon} + 1), \quad (15)$$

а своего минимума на отрезке  $[a(\varepsilon); b(\varepsilon)]$  она достигает на концах этого отрезка. Следовательно, график зависимости  $f_1(\xi(\beta_0, \varepsilon))$  от  $\beta_0$  при  $\varepsilon < 0$  имеет вид, изображенный на рис. 2.

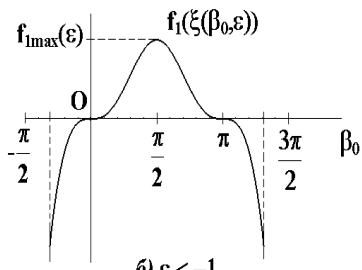
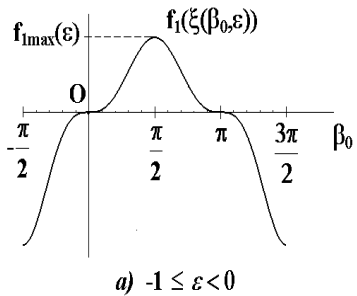


Рис. 2. Зависимость  $f_1(\xi(\beta_0, \varepsilon))$  от  $\beta_0$  при  $\varepsilon < 0$ .

Рассмотрим теперь уравнение (14) при  $j = 1$ . Его решениями являются абсциссы  $\beta_0$  точек пересечения горизонтальной прямой  $y = -(1 + \lambda)\varepsilon^2$  и графика  $f_1(\xi(\beta_0, \varepsilon))$ . В соответствии с (8), в случае  $\varepsilon < 0$  параметр  $\lambda$  может принимать все значения  $\lambda < -1$ . При уменьшении  $\lambda$  от  $-1$  до  $-\infty$  упомянутая прямая поднимается в верхней полуплоскости на рис. 2 от оси абсцисс до  $\infty$ .

Обозначим через  $\lambda^{(1)}(\varepsilon)$  значение  $\lambda$ , при котором прямая  $y = -(1 + \lambda)\varepsilon^2$  касается на рис. 2 графика  $f_1(\xi(\beta_0, \varepsilon))$  в точке максимума. Согласно (15), имеем

$$\begin{aligned} \lambda^{(1)}(\varepsilon) &= -1 - f_{1\max}(\varepsilon)/\varepsilon^2 = \\ &= -4(1 - \varepsilon)/(\sqrt{1 - \varepsilon} + 1)^2, \quad \varepsilon < 0. \end{aligned} \quad (16)$$

Тогда для значений  $\varepsilon < 0$ ,  $\lambda \in (\lambda^{(1)}(\varepsilon); -1)$  эта прямая пересекает график  $f_1(\xi(\beta_0, \varepsilon))$  в двух точках промежутка  $(0; \pi)$ :

$$\begin{aligned} \beta_1^{(1)}(\varepsilon, \lambda) &\in (0; \pi/2), \quad \beta_2^{(1)}(\varepsilon, \lambda) \in (\pi/2; \pi) \\ (\beta_2^{(1)}(\varepsilon, \lambda) &= \pi - \beta_1^{(1)}(\varepsilon, \lambda)). \end{aligned}$$

На интервале  $(\beta_1^{(1)}(\varepsilon, \lambda); \beta_2^{(1)}(\varepsilon, \lambda))$  имеем  $f_1(\xi(\beta_0, \varepsilon)) > -(1 + \lambda)\varepsilon^2$ , и поэтому, согласно (12), во всех точках этого интервала за исключением его середины  $\beta_0 = \pi/2$  получаем  $S_1(\beta_0, \varepsilon, \lambda) > 0$ .

Итак, если при  $\varepsilon < 0$  параметр  $\lambda$  принадлежит интервалу  $(\lambda^{(1)}(\varepsilon); -1)$ , то существует интервал  $(\beta_1^{(1)}(\varepsilon, \lambda); \beta_2^{(1)}(\varepsilon, \lambda))$  значений  $\beta_0$ , во всех точках которого (за исключением его середины  $\beta_0 = \pi/2$ ) выполняется основное условие устойчивости (7) для

кривой  $y = y_1(\beta_0, \varepsilon)$ . В точках этой кривой, соответствующих значениям  $\beta_0$  вне данного интервала, условие (7) не выполняется. Оно не выполняется также на всей кривой  $y = y_1(\beta_0, \varepsilon)$ , когда  $\varepsilon < 0$  и  $\lambda < \lambda^{(1)}(\varepsilon)$ .

**5.2. Условие (7) на кривой  $y = y_2(\beta_0, \varepsilon)$  при  $\varepsilon < 0$ .** Из (13) при  $j = 2$  имеем  $f_2(\xi) = (\xi + 1)^3(3\xi - 1)$ . Следовательно, производная функции  $f_2(\xi(\beta_0, \varepsilon))$  по  $\beta_0$  равна  $f'_2(\xi(\beta_0, \varepsilon)) = -6\varepsilon \cos \beta_0 [\xi(\beta_0, \varepsilon) + 1]^2$ . Таким образом, при  $\varepsilon < 0$  функция  $f_2(\xi(\beta_0, \varepsilon))$  монотонно возрастает на  $[a(\varepsilon); \pi/2]$  и монотонно убывает на  $[\pi/2; b(\varepsilon)]$ . Своего максимума на отрезке  $[a(\varepsilon); b(\varepsilon)]$  она достигает в его середине  $\beta_0 = \pi/2$ :

$$f_{2\max}(\varepsilon) = f_2(\xi_{\max}(\varepsilon)) = (\sqrt{1-\varepsilon} + 1)^3(3\sqrt{1-\varepsilon} - 1), \quad \varepsilon < 0,$$

а своего минимума – на его концах:

$$f_{2\min}(\varepsilon) = f_2(\xi_{\min}(\varepsilon)) = \begin{cases} (\sqrt{1+\varepsilon} + 1)^3(3\sqrt{1+\varepsilon} - 1), & \varepsilon \in [-1; 0), \\ -1, & \varepsilon \leq -1. \end{cases}$$

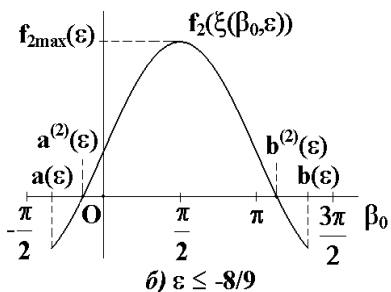
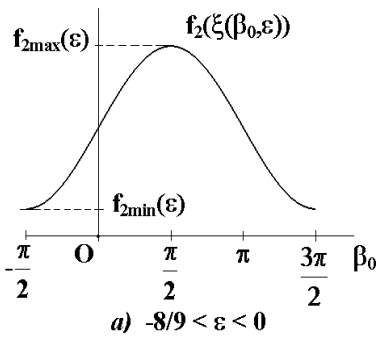


Рис. 3. Зависимость  $f_2(\xi(\beta_0, \varepsilon))$  от  $\beta_0$  при  $\varepsilon < 0$ .

Из этих формул следует, что при  $\varepsilon < 0$  всегда  $f_{2\max}(\varepsilon) > 0$ , а  $f_{2\min}(\varepsilon) > 0$  только когда  $\varepsilon \in [-1; 0)$  и  $3\sqrt{1+\varepsilon} - 1 > 0$ , то есть при  $\varepsilon \in (-8/9; 0)$ . При  $\varepsilon \leq -8/9$  будет  $f_{2\max}(\varepsilon) \leq 0$ . В последнем случае на отрезке  $[a(\varepsilon); b(\varepsilon)]$  существуют две точки  $a^{(2)}(\varepsilon), b^{(2)}(\varepsilon)$ , где  $f_2(\xi(\beta_0, \varepsilon)) = 0$ . Они определяются уравнением  $\xi(\beta_0, \varepsilon) = \sqrt{1-\varepsilon} \sin \beta_0 = 1/3$ , откуда

$$\begin{aligned} a^{(2)}(\varepsilon) &= \arcsin 8/9\varepsilon \in (-\pi/2; 0), \\ b^{(2)}(\varepsilon) &= \pi - a^{(2)}(\varepsilon) \in (\pi; 3\pi/2), \quad \varepsilon \leq -8/9. \end{aligned} \quad (17)$$

График функции  $f_2(\xi(\beta_0, \varepsilon))$  в зависимости от  $\beta_0$  при фиксированных  $\varepsilon < 0$  изображен на рис. 3.

Обозначим через  $\lambda_1^{(2)}(\varepsilon), \lambda_2^{(2)}(\varepsilon)$  значения  $\lambda$ , при которых прямая  $y = -(1 + \lambda)\varepsilon^2$  проходит на уровне максимума и положительного минимума этой функции:

$$\begin{aligned} \lambda_1^{(2)}(\varepsilon) &= -1 - f_{2\max}(\varepsilon)/\varepsilon^2 = \\ &\quad -4(1-\varepsilon)/(\sqrt{1-\varepsilon} - 1)^2, \quad \varepsilon < 0, \\ \lambda_2^{(2)}(\varepsilon) &= -1 - f_{2\min}(\varepsilon)/\varepsilon^2 = \\ &\quad -4(1+\varepsilon)/(\sqrt{1+\varepsilon} - 1)^2, \quad \varepsilon \in (-8/9; 0). \end{aligned} \quad (18)$$

При  $\varepsilon \in (-8/9; 0)$  и  $\lambda \in (\lambda_2^{(2)}(\varepsilon); -1)$  вся прямая  $y = -(1 + \lambda)\varepsilon^2$  расположена ниже графика функции  $y = f_2(\xi(\beta_0, \varepsilon))$ . Тогда в формуле (12), взятой при  $j = 2$ , выражение в квадратных скобках положительно при всех  $\beta_0 \in [-\pi/2; 3\pi/2]$ , и следовательно, условие (7) выполнено во всех точках кривой  $y = y_2(\beta_0, \varepsilon)$  за исключением точки бифуркации при  $\beta_0 = \pi/2$ .

При  $\varepsilon \in (-8/9; 0)$ ,  $\lambda \in (\lambda_1^{(2)}(\varepsilon), \lambda_2^{(2)}(\varepsilon))$ , а также при  $\varepsilon \leq -8/9$ ,  $\lambda \in (\lambda_1^{(2)}(\varepsilon); -1)$  прямая  $y = -(1 + \lambda)\varepsilon^2$  пересекает график функции  $y = f_2(\xi(\beta_0, \varepsilon))$  в двух точках с абсциссами

$$\beta_1^{(2)}(\varepsilon, \lambda) \in (-\pi/2; \pi/2), \quad \beta_2^{(2)}(\varepsilon, \lambda) = \pi - \beta_1^{(2)}(\varepsilon, \lambda) \in (\pi/2; 3\pi/2).$$

Поэтому выражение в квадратных скобках в формуле (12), рассматриваемой при  $j = 2$ , положительно на интервале  $(\beta_1^{(2)}(\varepsilon, \lambda); \beta_2^{(2)}(\varepsilon, \lambda))$  с центром в  $\beta_0 = \pi/2$ . Следовательно, условие (7) для кривой  $y = y_2(\beta_0, \varepsilon)$  выполнено здесь во всех точках этого интервала за исключением точки  $\beta_0 = \pi/2$  и не выполнено вне данного интервала.

При  $\varepsilon < 0$  и всех  $\lambda \leq \lambda_1^{(2)}(\varepsilon)$  прямая  $y = -(1 + \lambda)\varepsilon^2$  расположена выше графика функции  $y = f_2(\xi(\beta_0, \varepsilon))$  или касается его при  $\beta_0 = \pi/2$ . Следовательно, условие (7) в этом случае не выполнено на всей кривой  $y = y_2(\beta_0, \varepsilon)$ .

**6. Границные поверхности.** Чтобы представить полученные результаты в более наглядной форме, построим в пространстве переменных  $\beta_0, \varepsilon, \lambda$  поверхности  $\beta_0 = \beta_k^{(j)}(\varepsilon, \lambda)$ ,  $j, k = 1, 2$ , определяемые уравнениями (14).

**6.1. Границные поверхности для кривой  $y = y_1(\beta_0, \varepsilon)$ .** Значения  $\beta_k^{(1)}(\varepsilon, \lambda)$ ,  $k = 1, 2$ , являются при данных  $\varepsilon < 0$ ,  $\lambda \in [\lambda^{(1)}(\varepsilon); -1]$  абсциссами левой и правой точек пересечения прямой  $y = -(1 + \lambda)\varepsilon^2$  с графиком  $y = f_1(\xi(\beta_0, \varepsilon))$  как функции  $\beta_0$ . Как видно из рис. 2, при увеличении  $\lambda$  от  $\lambda^{(1)}(\varepsilon)$  до  $-1$  прямая  $y = -(1 + \lambda)\varepsilon^2$  опускается от уровня  $f_{1\max}(\varepsilon) > 0$  до 0, и при этом функция  $\beta_1^{(1)}(\varepsilon, \lambda)$  монотонно убывает от  $\pi/2$  до 0, а функция  $\beta_2^{(1)}(\varepsilon, \lambda)$  монотонно возрастает от  $\pi/2$  до  $\pi$ .

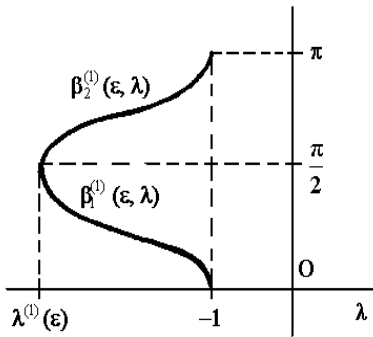


Рис. 4. Зависимости  $\beta_1^{(1)}(\varepsilon, \lambda)$ ,  $\beta_2^{(1)}(\varepsilon, \lambda)$  от  $\lambda$ .

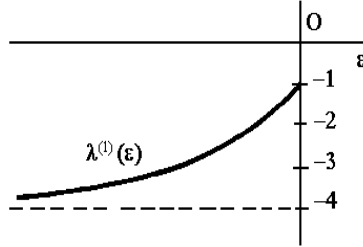


Рис. 5. График функции  $\lambda^{(1)}(\varepsilon)$ .

Монотонный характер изменения этих функций можно установить также аналитически, определив  $\partial\beta_k^{(1)}(\varepsilon, \lambda)/\partial\lambda$ ,  $k = 1, 2$ , как производные неявных функций из уравнения (14) при  $j = 1$ :

$$\partial\beta(\varepsilon, \lambda)/\partial\lambda = \varepsilon/6 \cos\beta(\varepsilon, \lambda)[\xi(\beta(\varepsilon, \lambda)) - 1]^2.$$

Здесь под  $\beta(\varepsilon, \lambda)$  понимается одна из функций  $\beta_k^{(1)}(\varepsilon, \lambda)$ ,  $k = 1, 2$ . Так как  $\beta_1^{(1)}(\varepsilon, \lambda)$ ,  $\beta_2^{(1)}(\varepsilon, \lambda)$  принадлежат, соответственно, интервалам  $(0; \pi/2)$  и  $(\pi/2; \pi)$ , где  $\xi(\beta(\varepsilon, \lambda)) > 1$ , то  $\partial\beta_k^{(1)}(\varepsilon, \lambda)/\partial\lambda$  имеет при  $\varepsilon < 0$  знак, противоположный знаку  $\cos\beta_k^{(1)}(\varepsilon, \lambda)$ , то есть  $\partial\beta_1^{(1)}(\varepsilon, \lambda)/\partial\lambda < 0$ ,  $\partial\beta_2^{(1)}(\varepsilon, \lambda)/\partial\lambda > 0$ . Далее, при  $\lambda \rightarrow \lambda^{(1)}(\varepsilon)$  имеем  $\cos\beta_k^{(1)}(\varepsilon, \lambda) \rightarrow \cos\pi/2 = 0$ , и следовательно,  $\partial\beta_k^{(1)}(\varepsilon, \lambda)/\partial\lambda \rightarrow \infty$ ,  $k = 1, 2$ . При  $\lambda \rightarrow -1$  имеем  $\beta_1^{(1)}(\varepsilon, \lambda) \rightarrow 0$ ,  $\beta_2^{(1)}(\varepsilon, \lambda) \rightarrow \pi$ , поэтому  $\xi(\beta_k^{(1)}(\varepsilon, \lambda)) \rightarrow 1$ , и следовательно,  $\partial\beta_k^{(1)}(\varepsilon, \lambda)/\partial\lambda \rightarrow \infty$ . Теперь нетрудно построить графики зависимости функций  $\beta_k^{(1)}(\varepsilon, \lambda)$ ,  $k = 1, 2$ , от  $\lambda$  при фиксированном  $\varepsilon < 0$  (рис. 4).

Областью определения этих функций является промежуток  $[\lambda^{(1)}(\varepsilon); -1]$ . Построим график зависимости  $\lambda^{(1)}(\varepsilon)$  от  $\varepsilon < 0$ . Из выражения (16) находим  $d\lambda^{(1)}(\varepsilon)/d\varepsilon =$

$4/(\sqrt{1-\varepsilon}+1)^3$ . Таким образом,  $d\lambda^{(1)}(\varepsilon)/d\varepsilon > 0$  на полуоси  $(-\infty; 0)$ , при  $\varepsilon \rightarrow -\infty$  имеем  $\lambda^{(1)}(\varepsilon) \rightarrow -4$ , а при  $\varepsilon \rightarrow 0$  имеем  $\lambda^{(1)}(\varepsilon) \rightarrow -1$ . Следовательно, график функции  $\lambda^{(1)}(\varepsilon)$  имеет вид, изображенный на рис. 5.

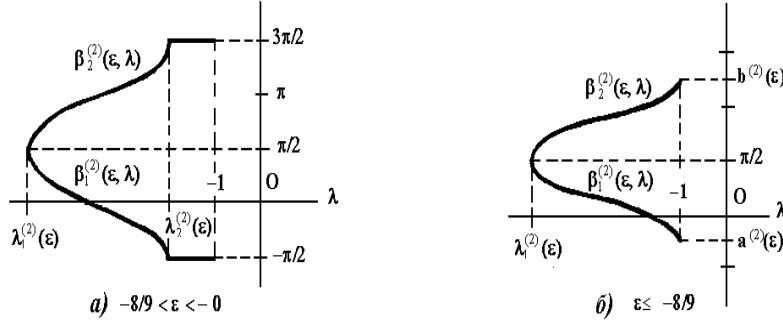


Рис. 6. Графики зависимостей  $\beta_1^{(2)}(\varepsilon, \lambda)$ ,  $\beta_2^{(2)}(\varepsilon, \lambda)$  от  $\lambda$ .

Графики на рис. 4 представляют сечения поверхностей  $\beta_0 = \beta_k^{(1)}(\varepsilon, \lambda)$ ,  $k = 1, 2$ , плоскостями  $\varepsilon = \text{const} < 0$ . Пользуясь рис. 4, 5, легко построить и сами эти поверхности (рис. 9, a).

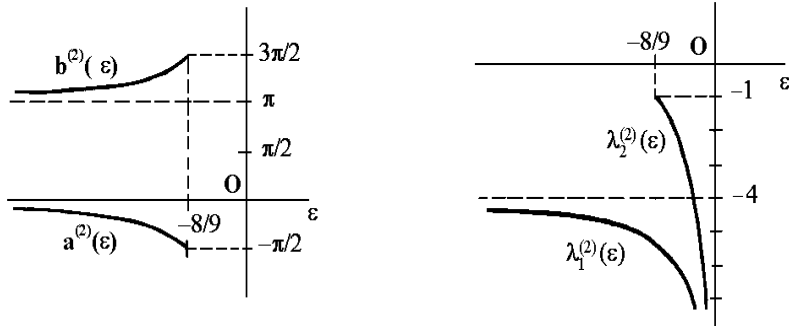


Рис. 7. Графики  $a^{(2)}(\varepsilon)$ ,  $b^{(2)}(\varepsilon)$ .

Рис. 8. Графики  $\lambda_1^{(2)}(\varepsilon)$ ,  $\lambda_2^{(2)}(\varepsilon)$ .

**6.2. Границные поверхности для кривой  $y = y_2(\beta_0, \varepsilon)$ .** Рассмотрим сначала случай, когда  $\varepsilon \in (-8/9; 0)$ . Тогда при увеличении  $\lambda$  от  $\lambda_1^{(2)}(\varepsilon)$  до  $\lambda_2^{(2)}(\varepsilon)$  прямая  $y = -(1 + \lambda)\varepsilon^2$  на рис. 3 опускается от уровня  $f_{2\max}(\varepsilon) > 0$  до  $f_{2\min}(\varepsilon) > 0$ , и при этом  $\beta_1^{(2)}(\varepsilon, \lambda)$  монотонно убывает от  $\pi/2$  до  $-\pi/2$ , а  $\beta_2^{(2)}(\varepsilon, \lambda)$  монотонно возрастает от  $\pi/2$  до  $3\pi/2$ . При дальнейшем увеличении  $\lambda$  от  $\lambda_2^{(2)}(\varepsilon)$  до  $-1$  прямая  $y = -(1 + \lambda)\varepsilon^2$  проходит ниже графика  $y = f_2(\xi(\beta_0, \varepsilon))$ , и поэтому при фиксированном  $\varepsilon \in (-8/9; 0)$  и всех  $\lambda \in [\lambda_2^{(2)}(\varepsilon); -1]$  имеем  $\beta_1^{(2)}(\varepsilon, \lambda) = -\pi/2$ ,  $\beta_2^{(2)}(\varepsilon, \lambda) = 3\pi/2$ . Из уравнения (14) при  $j = 2$  находим

$$\partial\beta(\varepsilon, \lambda)/\partial\lambda = \varepsilon/6 \cos\beta(\varepsilon, \lambda)[\xi(\beta(\varepsilon, \lambda)) + 1]^2. \quad (19)$$

Здесь под  $\beta(\varepsilon, \lambda)$  следует понимать одну из функций  $\beta_k^{(2)}(\varepsilon, \lambda)$ ,  $k = 1, 2$ . Так как  $\beta_1^{(2)}(\varepsilon, \lambda)$  и  $\beta_2^{(2)}(\varepsilon, \lambda)$  принадлежат соответственно интервалам  $(-\pi/2; \pi/2)$  и  $(\pi/2; 3\pi/2)$ , а  $\varepsilon < 0$ , то  $\partial\beta_1^{(2)}(\varepsilon, \lambda)/\partial\lambda < 0$ ,  $\partial\beta_2^{(2)}(\varepsilon, \lambda)/\partial\lambda > 0$ . Если  $\lambda \rightarrow \lambda_1^{(2)}(\varepsilon)$  или  $\lambda \rightarrow \lambda_2^{(2)}(\varepsilon)$  при  $\varepsilon \in (-8/9; 0)$ , то  $\cos\beta_k^{(2)}(\varepsilon, \lambda) \rightarrow 0$ , и следовательно,  $\partial\beta_k^{(2)}(\varepsilon, \lambda)/\partial\lambda \rightarrow \infty$ . Теперь нетрудно построить графики зависимости  $\beta_k^{(2)}(\varepsilon, \lambda)$ ,  $k = 1, 2$ , от  $\lambda$  при фиксированном  $\varepsilon \in (-8/9; 0)$  (см. рис. 6, a).

Рассмотрим теперь случай  $\varepsilon \leq -8/9$ . В этом случае при увеличении  $\lambda$  от  $\lambda_1^{(2)}(\varepsilon)$  до  $-1$  прямая  $y = -(1 + \lambda)\varepsilon^2$  на рис. 3 опускается от  $f_{2\max}(\varepsilon) > 0$  до 0, так что  $\beta_1^{(2)}(\varepsilon, \lambda)$  монотонно убывает от  $\pi/2$  до  $a^{(2)}(\varepsilon)$ , а  $\beta_2^{(2)}(\varepsilon, \lambda)$  монотонно возрастает от  $\pi/2$  до  $b^{(2)}(\varepsilon)$  (функции  $a^{(2)}(\varepsilon)$ ,  $b^{(2)}(\varepsilon)$  определены в (17)). Так как  $\cos a^{(2)}(\varepsilon) \neq 0$ ,  $\cos b^{(2)}(\varepsilon) \neq 0$  при  $\varepsilon < -8/9$ , то из (19) следует, что в отличие от предыдущих случаев здесь производные  $\partial\beta_k^{(2)}(\varepsilon, \lambda)/\partial\lambda$  конечны при  $\lambda \rightarrow -1$  (см. рис. 6, б). Пользуясь выражениями (17) и (18) функций  $a^{(2)}(\varepsilon)$ ,  $b^{(2)}(\varepsilon)$  и  $\lambda_1^{(2)}(\varepsilon)$ ,  $\lambda_2^{(2)}(\varepsilon)$ , построим на рис. 7, 8 их графики.

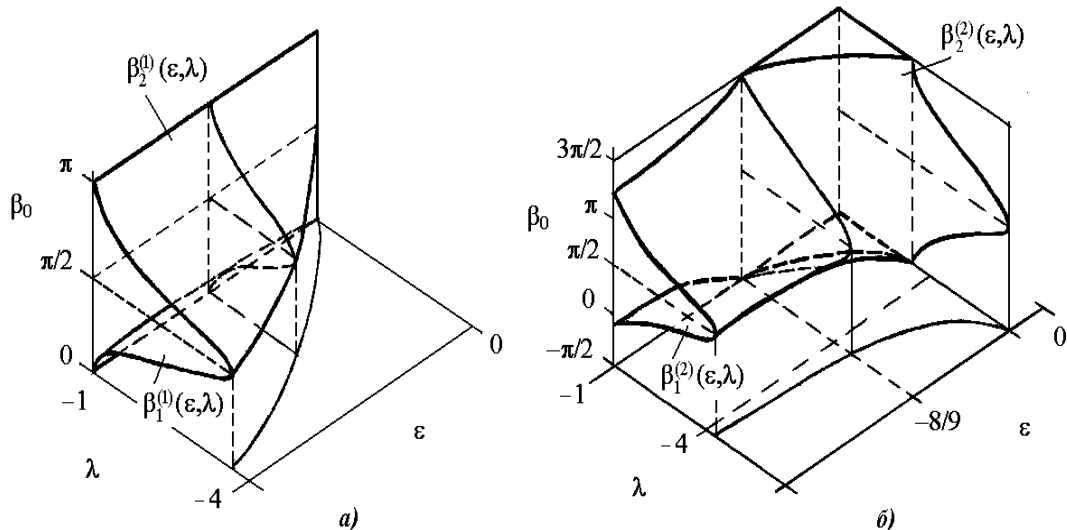


Рис. 9. Поверхности: а)  $\beta_0 = \beta_k^{(1)}(\varepsilon, \lambda)$ , б)  $\beta_0 = \beta_k^{(2)}(\varepsilon, \lambda)$ ,  $k = 1, 2$ .

Графики на рис. 6 изображают сечения поверхностей  $\beta_0 = \beta_k^{(2)}(\varepsilon, \lambda)$ ,  $k = 1, 2$ , плоскостями  $\varepsilon = \text{const} < 0$ . Это позволяет с помощью рис. 7, 8 построить указанные поверхности (см. рис. 9, б), которые вместе с результатами п. 3 представляют решение задачи о выделении устойчивых стационарных движений асинхронного гироскопа.

1. Магнус К. Об устойчивости движения тяжелого симметричного гироскопа в кардановом подвесе // Прикл. математика и механика. – 1958. – 22, вып. 2. – С. 173-178.
2. Румянцев В. В. Об устойчивости движения гироскопа в кардановом подвесе // Там же. – 22, вып. 3. – С. 374-378.
3. Лунц Я.Л. Введение в теорию гироскопов. – М.: Наука, 1972. – 296 с.
4. Клинов Д.М., Харламов С.А. Динамика гироскопа в кардановом подвесе. – М.: Наука, 1978. – 208 с.
5. Харламов С.А. К теории астатического гироскопа с электрическим приводом, установленного в кардановом подвесе // Изв. АН СССР. Механика и машиностроение. – 1963. – N 6. – С. 45-54.
6. Кременттуло В. В. Об устойчивости движения гироскопа в кардановом подвесе при наличии момента относительно оси ротора // Изв. АН СССР. Механика. – 1965. – N 3. – С. 156-159.
7. Коносевич Б.И. Скорость ухода оси ротора в обобщенной задаче о гироскопе в кардановом подвесе // Механика твердого тела. – 1972. – Вып. 4. – С. 82-92.
8. Коносевич Б.И. Об устойчивости стационарных движений асинхронного гироскопа в кардановом подвесе // Там же. – 1977. – Вып. 9. – С. 61-72.
9. Коносевич Ю.Б. Условия устойчивости устойчивости стационарных режимов движения синхронного гироскопа в кардановом подвесе // См. наст. сборник.